

การเพิ่มสมรรถนะของอุปกรณ์แลกเปลี่ยนความร้อนแบบเปลือกและห่อโดยการใช้สนามแม่เหล็ก

Performance Enhancement of Shell and Tube Heat Exchangers by Magnetic Field

กันย์ วงศ์เกษม และ บุญสร้าง ติเรกสสถาพร
ภาควิชาวิศวกรรมเครื่องกล คณะวิศวกรรมศาสตร์ มหาวิทยาลัยขอนแก่น
อ.เมือง จ. ขอนแก่น 40002

โทร. (043)244296 E-mail :Kanwongkasem@hotmail.com

Kan wongkasem and Boonsrang Direcksataporn
Department of Mechanical Engineering ,Faculty of Engineering ,Khonkean University
A.muang Khonkean 40002,Thailand
Tel.(043) 244296

บทคัดย่อ

การศึกษาการเพิ่มสมรรถนะของอุปกรณ์แลกเปลี่ยนความร้อนแบบเปลือกและห่อโดยการใช้สนามแม่เหล็ก กระทำโดยการสร้างแบบจำลองทางคณิตศาสตร์ของอุปกรณ์แลกเปลี่ยนความร้อน โดยใช้สนามแม่เหล็กมีพิกัดทางด้านจากกันการเคลื่อนที่ของของไหลในห่อและเปลือกห่อ โดยการวิเคราะห์หาค่าตอบ ได้ใช้วิธีการทางคณิตศาสตร์ และวิธีการไฟโนต์ເອເລເມນຕີໂດຍໃຫ້ໂປຣແກຣມແອນຊີສ (Ansys) รวมทั้งได้ทดสอบความถูกต้องของการคำนวณทางทฤษฎี โดยการสร้างเครื่องมือทดลองเปรียบเทียบ เมื่อของไหลที่ใช้ทดลองคือน้ำ พบว่าเมื่อเปลี่ยนแปลงขนาดของสนามแม่เหล็ก โดยที่พลังแม่เหล็กเพิ่มขึ้นจาก 0-0.23 เทสลา อุณหภูมิน้ำเย็นขาออกจากห่อ มีค่าสูงขึ้น อุณหภูมิน้ำร้อนขาออกจากเปลือกห่อ มีค่าลดลงสูงสุดประมาณ 2 องศาเซลเซียส ปริมาณการถ่ายเทความร้อนมีค่าเพิ่มขึ้น ประมาณ 5 เปอร์เซ็นต์ สัมประสิทธิ์การถ่ายเทความร้อนรวมมีค่าเพิ่มขึ้น และประสิทธิภาพทางความร้อนมีค่าเพิ่มขึ้นประมาณ 7 เปอร์เซ็นต์ เมื่อเปรียบเทียบกับกรณีที่ไม่มีสนามแม่เหล็ก นอกจากนี้ผลการทดลอง มีความสอดคล้องกับผลการคำนวณเป็นอย่างดี ดังนั้นการใช้สนามแม่เหล็กจึงเป็นแนวทางที่ดีอีกวิธีหนึ่งในการเพิ่มสมรรถนะของอุปกรณ์แลกเปลี่ยนความร้อนแบบเปลือกและห่อ

Abstract

This study for Performance Enhancement of Shell and Tube Heat Exchangers by Magnetic Field has produced mathematical model owing to the fact that, magnetic field has the direction crosses fluid movement, both internal and external of tube. For analyzing the results used mathematical method by solve

differential equation and numerical method by program finite element (Ansys). Including examine theoretical accuracy by producing experimental equipment. The experiment fluid is water. Magnetic flux have been compared from 0-0.23 Tesla. Indicate that, outlet temperature of cold water is increased and outlet temperature of hot water is decreased about 2 Celsius .Quantity of heat transfer increased, temperature efficiency increased about 5 Percents, heat transfer coefficients increased were found These, increasingly effect the heat efficiency of heat exchanger by 7 percent. More over, result of experiment and results of simulation were similar as well. Which could be the way for Performance Enhancement of shell and tube heat exchanger in another ways.

1. บทนำ

การเพิ่มปริมาณการถ่ายเทความร้อนในอุปกรณ์ต่างๆ มีวิธีการหลักๆ อยู่ 2 วิธีคือ Passive technique ซึ่งเป็นวิธีการเปลี่ยนแปลงลักษณะภายในของอุปกรณ์ เช่นการเพิ่มพื้นที่ผิวการถ่ายเทความร้อน การเปลี่ยนแปลงลักษณะการไหลของของไหลบริเวณที่มีการถ่ายเทความร้อน เป็นต้น และ Active technique ซึ่งคือวิธีการนำพลังงานในรูปแบบต่างๆ จากภายนอกเข้ามาช่วยเพิ่มปริมาณการถ่ายเทความร้อน การใช้พลังงานจากสนามแม่เหล็กก็เป็นวิธีการอันหนึ่งที่สามารถเพิ่มปริมาณการถ่ายเทความร้อนได้ [6] โดยได้มีนักวิจัยหลายท่านทำการศึกษาผลของสนามแม่เหล็กต่ออุณหภูมิและความเร็วของของไหล ในการนี้การพากความร้อนแบบบังคับในห่อ [7] และในกรณีการพากความร้อนแบบอิสระบนแผ่นโลหะที่วางอยู่ในแนวตั้ง และในแนวราบ [3],[1]

โดยอาศัยหลักการที่ว่า เมื่อของไหหลักที่มีคุณสมบัติน้าไฟฟ้า เคลื่อนที่ผ่านสนามแม่เหล็กจะเกิดแรงและพลังงานที่ในตัวของไหหล ซึ่งแรงดังกล่าวจะไปช่วยเพิ่มปริมาณการถ่ายเทความร้อน และยังส่งผลถึงการเพิ่มหรือหนนการกระจายความเร็วของของไหหล ทั้งนี้ขึ้นอยู่กับพิเศษของสนามแม่เหล็ก บทความนี้จะนำเอาหลักการดังกล่าวไปใช้ในการเพิ่มปริมาณการถ่ายเทความร้อนในอุปกรณ์แลกเปลี่ยนความร้อน แบบเปลี่ยนและท่อ โดยในการศึกษาได้เริ่มต้นจากการสร้างแบบจำลองทางคณิตศาสตร์ ที่สภาวะคงตัวจะพิจารณาผลของสนามแม่เหล็กที่มีต่ออุณหภูมิและความเร็วในอุปกรณ์แลกเปลี่ยนความร้อนโดยการหาค่าตอบ ด้วยวิธีการวิเคราะห์ทางคณิตศาสตร์ และวิธีการวิเคราะห์ทางด้วยเลข และผลที่ได้ยังนำมาเปรียบเทียบกับการทดลองเพื่อทดสอบคุณภาพที่ต้องของแบบจำลองทางคณิตศาสตร์

2. พลังงานและแรงจากสนามแม่เหล็กที่เกิดขึ้นกับของไห

ของไหหลักที่มีคุณสมบัติน้าไฟฟ้า เมื่อเคลื่อนที่ผ่านสนามแม่เหล็ก จะเกิดแรงขึ้นในตัวของไหหล (Electromotive Force) ซึ่งจะเป็นสัดส่วนโดยตรงกับความเร็วของการเคลื่อนที่ของของไหหล และความหนาแน่นของฟลักซ์แม่เหล็ก สนามแม่เหล็กจะสร้างแรงจาก การเห็นี่ยวน้ำ ให้เกิดขึ้นกับวัสดุตัวน้ำ เพื่อหนนหรือเพิ่มการเคลื่อนที่ของของไหหล และกำเนิดงานเนื่องจากความร้อน และทำให้ของไหหลมีการเปลี่ยนแปลงอุณหภูมิ เมื่อของไหหลมีคุณสมบัติน้าไฟฟ้าสูงๆ หรือมีค่าความซึมซาบทางแม่เหล็กสูงจะสามารถรับน้ำอิทธิพลจากสนามแม่เหล็กได้มากขึ้น

โดยกระเสการเห็นี่ยวน้ำในของไห (Current Density) คือ

$$J = \sigma (u X B) \quad (1)$$

และแรงที่เกิดขึ้นจากการเสนี่ยวน้ำที่เกิดขึ้นในของไหหลคือ

$$F_m = JxB = \sigma u B^2 \quad (2)$$

โดยพลังงานที่เกิดขึ้นในของไหหลมีค่า

$$W_m = \frac{J x J}{\sigma} = \sigma u^2 B^2 \quad (3)$$

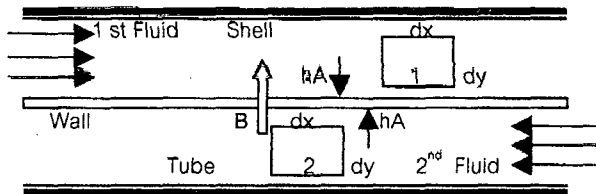
เมื่อ B = ความหนาแน่นของฟลักซ์แม่เหล็ก (tesla)

σ = ค่าการนำทางไฟฟ้า (ซีเมนต์/เมตร)

u = ค่าความเร็วของของไห (เมตร/วินาที)

3. แบบจำลองทางคณิตศาสตร์

ในการสร้างแบบจำลองทางคณิตศาสตร์ได้กำหนดให้ของไหชนิดที่ 1 ไหในเปลือกห่อ ของไหชนิดที่ 2 ไหในห่อโดยของไหหลทั้ง 2 ชนิดไหหลสวนทางกัน สนามแม่เหล็กมีพิเศษทางด้านจักษุของไหหลทั้งสองโดยพิจารณาส่วนของของไหที่ 1 และ 2 ในปริมาตรควบคุม ที่มีความหนาเท่ากับ 1 หน่วย ดังรูปที่ 1



รูปที่ 1 ของไหในห่อและเปลือกห่อ กับสนามแม่เหล็ก

เมื่อพิจารณาการไหของของไหที่เข้าและออกจากปริมาตรควบคุม โดยอาศัยกฎการอนุรักษ์มวล ทฤษฎีของโมเมนตัม และกฎทรงพลังงานในกรณีที่มีสนามแม่เหล็ก จะได้สมการสภาวะต่อเนื่อง สมการโมเมนตัม และสมการพลังงาน ของของไหหลทั้งในเปลือกห่อและในห่อ ที่สภาวะคงตัวดังสมการที่ 4,5,6

$$\frac{\partial u}{\partial x} + \frac{\partial u}{\partial y} = 0 \quad (4)$$

$$u \frac{\partial u}{\partial x} + v \frac{\partial u}{\partial y} + \frac{dp}{dx} + \mu \frac{\partial^2 u}{\partial y^2} + \frac{\sigma B^2 u}{\rho} = 0 \quad (5)$$

$$\rho c(u \frac{\partial T}{\partial x} + v \frac{\partial T}{\partial y}) = k \frac{\partial^2 T}{\partial y^2} + \mu \frac{\partial^2 u}{\partial y^2} + \sigma B^2 u^2 \quad (6)$$

โดยมีสมมุติฐานที่ใช้ในการสร้างแบบจำลองทางคณิตศาสตร์ดังต่อไปนี้

- 1) การเปลี่ยนแปลงอุณหภูมิก็เกิดขึ้นในแนวแกน X เท่านั้น
- 2) การเปลี่ยนแปลงความเร็วเกิดขึ้นในแนวแกน X เท่านั้น
- 3) ค่าความจุความร้อน (mc_s , $(mc)_t$) มีค่าคงที่
- 4) ค่าตัวนำแบบการพาความร้อน (hA_s , $(hA)_t$) มีค่าคงที่
- 5) ไม่มีความร้อนที่เกิดจากการนำความร้อน ในเส้นทางการไหของของไห
- 6) ไม่มี Thermal resistant ในผนัง สำหรับการไห
- 7) พลังงานจากสนามแม่เหล็กมีค่าคงที่ตลอดเส้นทางการไห

จากสมการสภาวะต่อเนื่อง สมการโมเมนตัม และสมการพลังงานโดยใช้สมมุติฐานดังกล่าว จะได้แบบจำลองทางคณิตศาสตร์ของอุปกรณ์แลกเปลี่ยนความร้อนแบบเปลี่ยนและท่อดังนี้

สมการของไหในห่อ

$$h_t A_t (T_w - T_t) = \rho_t c_t A_t L (u \frac{\partial T_t}{\partial x}) + \sigma B_t^2 u_t^2 A_t L \quad (7)$$

สมการของไหในเปลือกห่อ

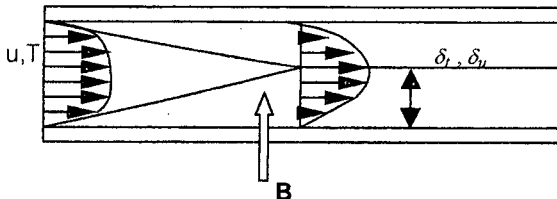
$$h_s A_s (T_w - T_s) = \rho_t c_t A_s L (u \frac{\partial T_s}{\partial x}) + \sigma B_s^2 u_s^2 A_s L \quad (8)$$

สมการผนังห่อ

$$h_t A_t (T_t - T_w) + h_s A_s (T_s - T_w) = 0 \quad (9)$$

4. ผลของสนามแม่เหล็กต่ออุณหภูมิและความเร็วของของไหล

ในการนี้ที่ของไหลในท่อและเปลือกท่อ มีลักษณะเป็นการไหลแบบรับเรียบจะเกิดความต้านทานที่เลี้ยงของอุณหภูมิและความเร็วเกิดขึ้น เมื่อสนามแม่เหล็กในทิศทางดังฉากกับการเคลื่อนที่ของของไหล จากรูปแสดงบางวารีร์เลเยอร์ เมื่อมีสนามแม่เหล็กมีทิศทางดังฉากกับการไหล



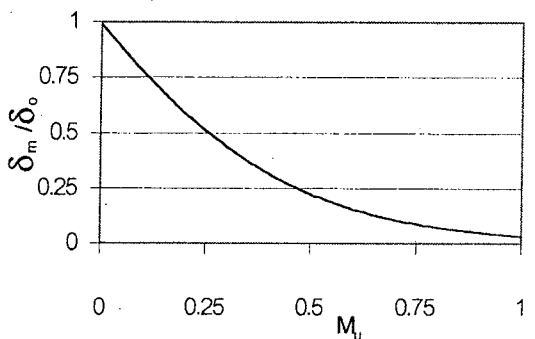
รูปที่ 2 บางวารีร์เลเยอร์ของอุณหภูมิและความเร็ว

จากสมการที่ (5) เมื่อไม่คิดความดันที่เปลี่ยนแปลง และใช้วิธีโมเม้นตัมอินทิกรัลในการหาผลของสนามแม่เหล็กต่อการเปลี่ยนแปลงความเร็วในบางวารีร์เลเยอร์ จะได้สัดส่วนของความหนาของบางวารีร์เลเยอร์ในกรณีที่มีสนามแม่เหล็กต่อการนี้ที่ไม่มีสนามแม่เหล็กดังนี้

$$\frac{\delta_m}{\delta_o} = \frac{0.334}{M_u^{1/2}} (e^{8.97M} - 1)^{1/2} \quad (10)$$

เมื่อ M_u คือพารามิเตอร์ทางแม่เหล็กมีค่าเท่ากับ

$$M_u = \frac{\sigma B^2 x}{\rho u_\infty}$$



รูปที่ 3 ความสัมพันธ์ระหว่างสัดส่วนของบางวารีร์เลเยอร์ของความเร็วกับสนามแม่เหล็ก

จากรูปที่ 3 จะเห็นได้ว่า เมื่อเพิ่มค่าของสนามแม่เหล็กให้มีค่ามากขึ้น สัดส่วนของบางวารีร์เลเยอร์ของความเร็ว จะมีค่าลดลงแสดงว่า สนามแม่เหล็กในทิศทางดังฉากกับของไหลส่งผลให้การกระจายความเร็วในบางวารีร์เลเยอร์ของความเร็วลดลง การศึกษาผลของสนามแม่เหล็กต่อปริมาณการถ่ายเทความร้อน จากสมการที่ (6) ใช้วิธีเอนเนอร์จีอินทิกรัล ดังนั้นจะได้สัดส่วนของนัสเซลล์นัมเบอร์กับการนี้ที่มีและไม่มีสนามแม่เหล็กคือ

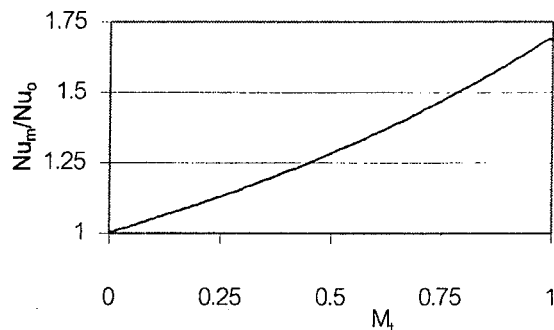
$$\frac{Nu_m}{Nu_0} = \left(\frac{5.33 M_t Ec}{1 - e^{-5.33 M_t Ec}} \right)^{1/2} \quad (11)$$

เมื่อ M_t คือพารามิเตอร์ทางแม่เหล็กมีค่าเท่ากับ

$$M_t = \frac{8 \sigma B^2 u_\infty}{3 \theta_a \rho c_p}$$

เมื่อ Ec (Eckert number) มีค่าเท่ากับ

$$Ec = \frac{u_\infty^2}{c_p \theta_\infty}$$



รูปที่ 4 ความสัมพันธ์ของสัดส่วนของนัสเซลล์นัมเบอร์กับสนามแม่เหล็ก

จากรูปที่ 4 จะเห็นได้ว่า เมื่อเพิ่มค่าของสนามแม่เหล็กให้มีค่ามากขึ้น สัดส่วนของนัสเซลล์นัมเบอร์ จะมีค่าเพิ่มขึ้นแสดงว่า สนามแม่เหล็กในทิศทางตรงดังฉากกับของไหลทำให้นัสเซลล์นัมเบอร์มีค่าเพิ่มขึ้น การถ่ายเทความร้อนการถ่ายเทความร้อนมีค่าเพิ่มขึ้น ส่งผลให้ของไหลมีอุณหภูมิสูงขึ้น

5. การวิเคราะห์หาอุณหภูมิของของไหลโดยใช้วิธีการทางคณิตศาสตร์

ที่สภาวะคงด้วยจากสมการที่ (7),(8) และ (9) จะได้สมการติดไฟอร์เรนเชียล ในเทอมของอุณหภูมิของของไหลในท่อและในเปลือกท่อ

$$\frac{dT_s}{dx} - K_1 T_s = -K_2 X - C_1 \quad (12)$$

$$\frac{dT_t}{dx} + K_3 T_t = -K_4 X - C_t \quad (13)$$

เมื่อ

$$K_1 = \left(\frac{Bs(Bs.Dt - Ds.Bt)}{Ds.Dt(Bt + Bs)} - \frac{Bs}{Ds} \right)$$

$$K_2 = \left(\frac{Bs.Bt.M_s}{Dt(Bt + Bs)} + \frac{Bt.Bs.M_t}{Ds(Bt + Bs)} \right)$$

$$K_3 = \left(\frac{-(Bs.Dt - Ds.Bt)}{Ds.Dt(Bt + Bs)} \cdot \frac{Bt}{Dt} - \frac{Bt}{Dt} \right)$$

$$K_4 = \left(\frac{Bs.Bt.M_t}{Ds(Bt + Bs)} + \frac{Bt.Bs.M_s}{Dt(Bt + Bs)} \right)$$

โดยที่

$$Mt = \frac{\sigma_t B_t^2 u_t}{L \rho_t c_t A_t} \quad Ms = \frac{\sigma_s B_s^2 u_s}{L \rho_s c_s A_s}$$

$$Bt = \rho_t c_t A_t L u_t \quad Bs = \rho_s c_s A_s L u_s$$

$$Dt = h_t A_t \quad Ds = h_s A_s$$

โดยวิธีการเทียบสัมประสิทธิ์ จะได้ค่าตอบของสมการที่ (12) และ (13) ดังนี้

อุณหภูมิของทองไอลในเปลือกห่อ

$$T_s = (T_{si} + \frac{M_s}{K_1})e^{-k_1 x} - \frac{M_s}{K_1} \quad (14)$$

อุณหภูมิของทองไอลในเนื้อ

$$T_t = (T_{ti} - \frac{M_t}{K_3})e^{-k_3 x} + \frac{M_t}{K_3} \quad (15)$$

อุณหภูมิของทองไอลในห่อและเปลือกห่อในสภาวะคงตัว จากสมการที่ (7),(8) และ(9) สามารถเขียนให้อยู่ในรูปของเทอมไวร์มิตได้ดังนี้

$$Ntu \frac{(1+R)}{R} (\theta_t - \theta_w) + Ntu(1+R)(\theta_s - \theta_w) = 0 \quad (16)$$

$$N_a(\theta_w - \theta_s) = \frac{\partial \theta_s}{\partial x} + M_s \quad (17)$$

$$N_b(\theta_w - \theta_t) = \frac{\partial \theta_t}{\partial x} + M_t \quad (18)$$

โดยที่

$$X = x / L$$

$$E = (wc)_t / (wc)_s$$

$$R = (hA)_t / (hA)_s$$

$$1 / Ntu = (wc)_{min} \left(\frac{1}{(hA)_s} + \frac{1}{(hA)_t} \right)$$

$$N_a = (hA)_s / (wc)_s$$

$$N_b = (hA)_t / (wc)_t$$

$$\theta_w = \frac{T_w}{T_{wi}}$$

$$\theta_t = \frac{T_t}{T_{ti}} , \theta_s = \frac{T_s}{T_{si}}$$

$$M_s = \frac{\sigma_s B_s^2 u_s}{L \rho_s c_s A_s} , M_t = \frac{\sigma_t B_t^2 u_t}{L \rho_t c_t A_t}$$

ใช้ความสัมพันธ์ของสมการในเทอมไวร์มิตสมการที่ 16,17,18 โดยใช้วิธีการเทียบสัมประสิทธิ์หาค่าตอบของสมการดิฟเฟอร์เรนเชียลได้ อุณหภูมิของไอลในห่อ ในเทอมไวร์มิต

$$\theta_t = (\theta_{ti} + \frac{M_t}{K_3})e^{-K_3 X} - \frac{M_t}{K_3} \quad (19)$$

อุณหภูมิของไอลในเปลือกห่อ ในเทอมไวร์มิต

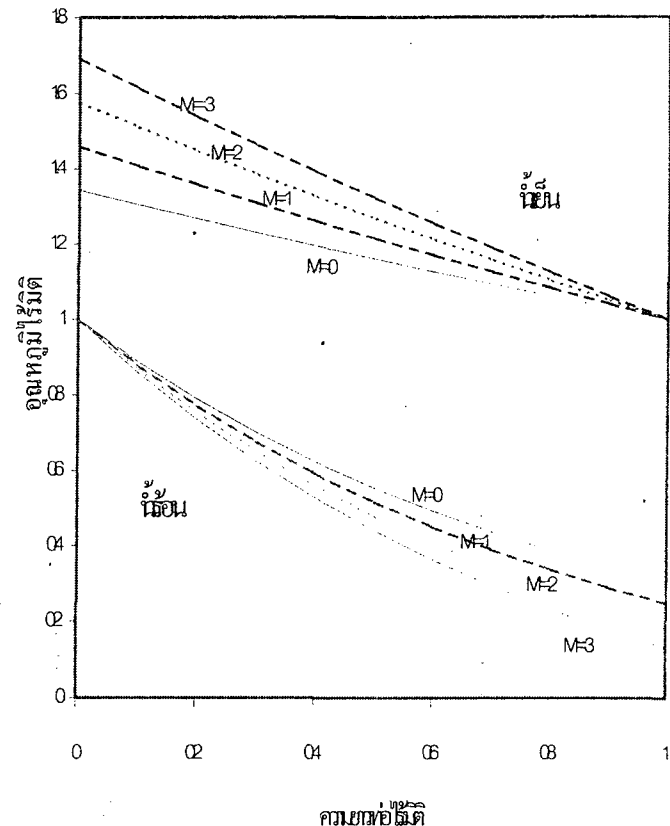
$$\theta_s = (\theta_{si} - \frac{M_s}{K_4})e^{-K_4 X} + \frac{M_s}{K_4} \quad (20)$$

เมื่อ

$$K_4 = \left(\frac{Nb + Na}{R+1} \right) - \frac{1}{Nb}$$

$$K_3 = \left(\frac{R}{Na + Nb} \right) - Na$$

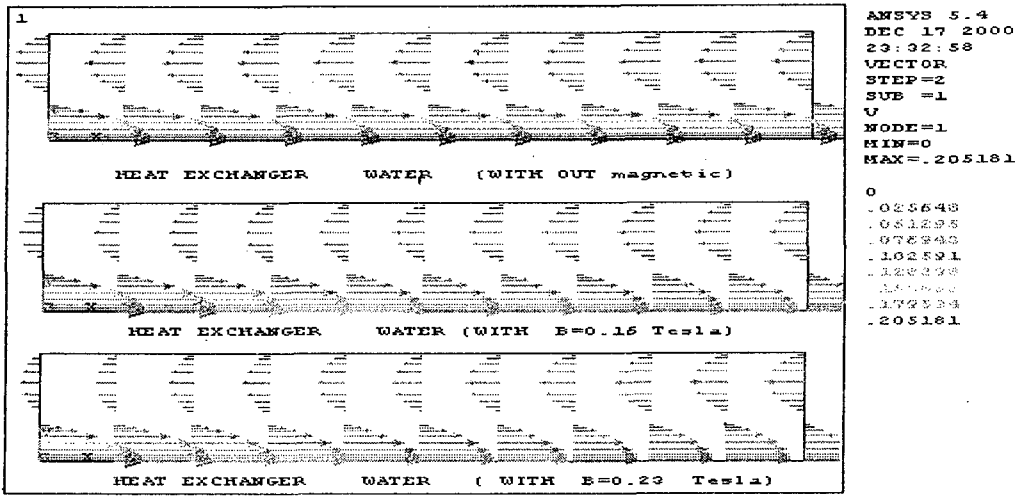
จะได้ความสัมพันธ์ของอุณหภูมิไวร์มิตและความเยาว์ไวร์มิตดังรูป



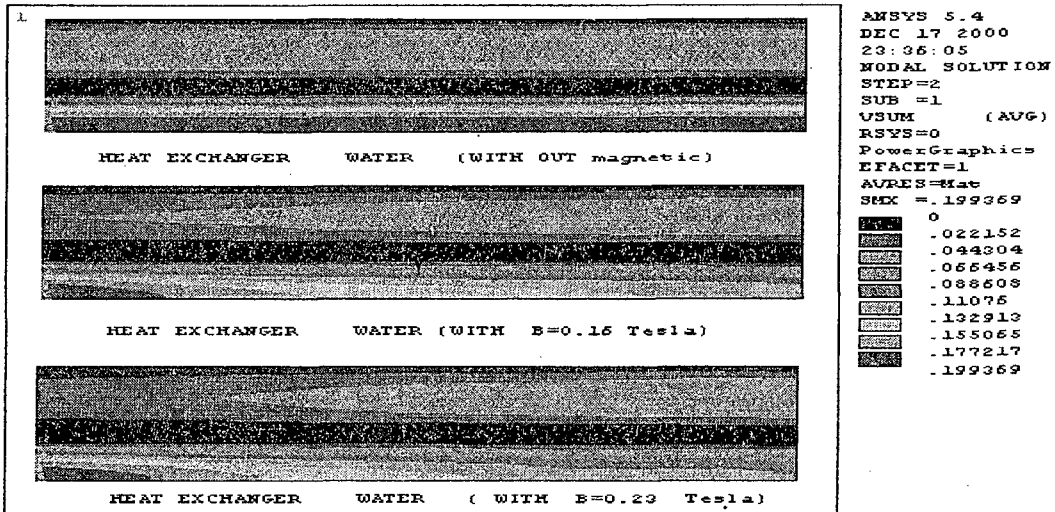
รูปที่ 5 ความสัมพันธ์ระหว่างอุณหภูมิไวร์มิตกับความเยาว์ไวร์มิต

6. การคำนวณหาค่าตอบโดยใช้วิธีการเชิงตัวเลข

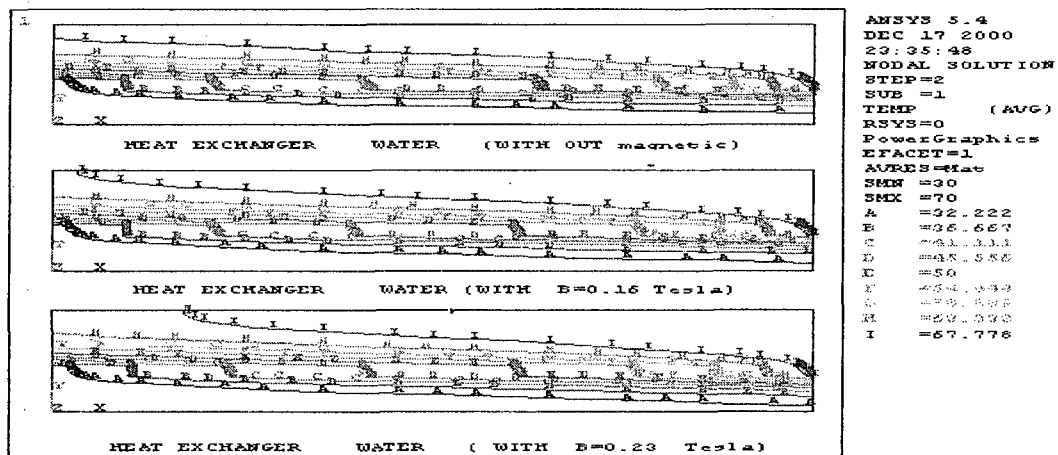
ในการคำนวณหาค่าตอบของ Velocity และ Temperature profiles ได้ใช้โปรแกรมแอนซิส ซึ่งเป็นโปรแกรมไฟนิตเอลเมนต์ชนิดสามเริจูป โดยแบ่งอุปกรณ์แลกเปลี่ยนความร้อนออกเป็นเอลเมนต์ด้วย โดยใช้ระบบ 4 Node (Quadrilateral) คิดเพียงครึ่งส่วนของอุปกรณ์แลกเปลี่ยนความร้อนเนื่องจากสมมาตรกัน กำหนดเงื่อนไขข้อบ่งชี้และเงื่อนไขเริ่มต้น โดยกำหนดความเร็วในแนวแกน X และ Y โดยกำหนด ความเร็วที่ผนังอุปกรณ์แลกเปลี่ยนความร้อนมีค่าเป็นศูนย์กำหนด อุณหภูมิขาเข้า ความดันขาเข้าและขาออกในห่อและเปลือกห่อ จากนั้น กำหนดภาระหรือแรงที่เกิดจากสนามแม่เหล็ก (Electromotive Force) ในแต่ละ Node ที่ความหนาแน่นของฟลักซ์แม่เหล็กค่าต่างๆ กัน การวิเคราะห์การถ่ายเทความร้อนระหว่างสองสภาวะ ใช้ค่าสั่ง Cmix กำหนดคุณสมบัติของทองไอลและวัสดุที่ใช้ทำผังห่อ เลือกเงื่อนไขในการคำนวณ ซึ่งสามารถแสดงผลในรูปของอุณหภูมิและความเร็ว ซึ่งนำค่าที่ได้จากการคำนวณ ทดลองแทนค่ากรณีที่ต้องการศึกษาลงในโปรแกรม ที่เขียนขึ้น เมื่อให้น้ำร้อนเข้าในเปลือกห่อ มีอุณหภูมิ 70 C และน้ำเย็นเข้าในห่อที่อุณหภูมิ 30 C อัตราการไหลของน้ำร้อน และน้ำเย็น มีค่า 300 ลิตร/ชั่วโมงที่อัตราผลของสนามแม่เหล็กค่าต่างๆ กัน



รูปที่ 6 การเปลี่ยนแปลงเวลาเดอร์ความเร็วของน้ำในท่อและเปลือกห้องกับสนามแม่เหล็ก



รูปที่ 7 การเปลี่ยนแปลง Velocity Profile ของน้ำในท่อและเปลือกห้องกับสนามแม่เหล็ก

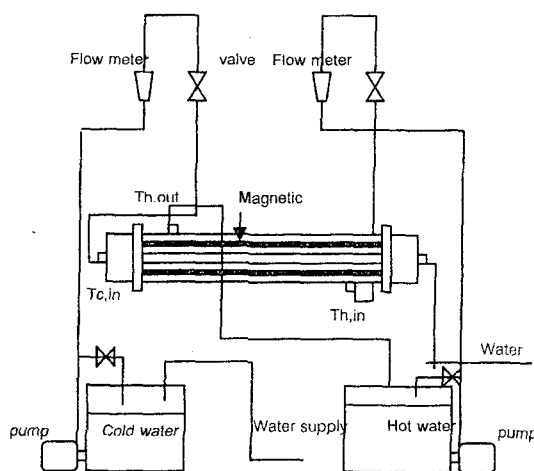


รูปที่ 8 การเปลี่ยนแปลง Temperature Contour Line ของน้ำในท่อและเปลือกห้องกับสนามแม่เหล็ก

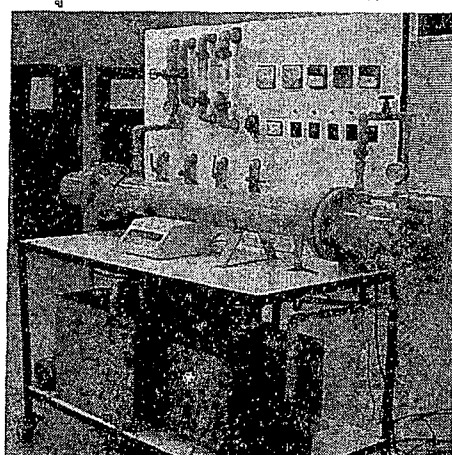
จากการวิเคราะห์ด้วย Ansys พบร่วมกันของอุณหภูมิและความร้อนที่ได้รับจากน้ำที่ไหลผ่านแม่เหล็ก ทำให้ความเร็วมีค่าลดลง ส่วนอุณหภูมิของน้ำร้อนมีค่าลดลง อุณหภูมิของน้ำเย็นมีค่าสูงขึ้น ส่งผลถึงการถ่ายเทความร้อนที่ดีขึ้น ซึ่งเปรียบพัฒนาค่าของสารเคมีแม่เหล็กที่เพิ่มขึ้น

7. เครื่องมือทดลอง

เครื่องมือที่ใช้ในการทดลองถูกสร้างขึ้นโดยของไฟล์ที่ใช้ในการทดลองคือน้ำ และใช้แม่เหล็กตัวชี้วัดหนึ่งและขั้วและขั้วและขั้วได้ เป็นตัวกำหนดพลังงาน ซึ่งประกอบอยู่ระหว่างด้านบนและด้านล่างของห้อง โดยที่สามารถปรับระดับห้องระหว่างแท่งแม่เหล็กได้ น้ำเย็นถูกปั๊มให้ไหลในห้อง และน้ำร้อนถูกปั๊มให้ไหลในเปลือกห้อง โดยมีติดตั้งทางเดินที่อัตราการไหลสามารถอ่านค่าได้จาก Flow Meter และใช้เกอร์มันคัมเปิล จดอุณหภูมิที่ทางเข้าและทางออกห้องทั้งหมด 4 จุดดังแสดงรูป



รูปที่ 9 แผนภาพของเครื่องมือทดลอง



รูปที่ 10 เครื่องมือที่ใช้ในการทดลอง

8. สมรรถนะของอุปกรณ์แลกเปลี่ยนความร้อน

สมรรถนะของอุปกรณ์แลกเปลี่ยนความร้อนในกรณีที่มีสารเคมีแม่เหล็ก และกรณีที่ไม่มีสารเคมีแม่เหล็ก สามารถวิเคราะห์เบรี่ยงเที่ยบได้ จากค่าของอุณหภูมิเฉลี่ยเชิงลึก อัตราการถ่ายเทความร้อนที่ดีขึ้น

สมมติว่าการถ่ายเทความร้อนรวม ประสิทธิภาพของอุณหภูมิและประสิทธิภาพทางความร้อน ดังสมการที่ (21) ถึงสมการที่ (25)

$$\Delta T_{in,mag} = \frac{\Delta T_{o,mag} - \Delta T_{l,mag}}{\ln\left(\frac{\Delta T_{o,mag}}{\Delta T_{l,mag}}\right)} \quad (21)$$

อัตราการถ่ายเทความร้อน

$$Q_{mag} = m_c c p_c (T_{c,out,mag} - T_{c,in,mag}) = m_h c p_h (T_{h,in,mag} - T_{h,out,mag}) \quad (22)$$

สมมติว่าการถ่ายเทความร้อนรวม

$$U_{o,mag} = \frac{Q_{mag}}{\Delta T_{in,mag} A} \quad (23)$$

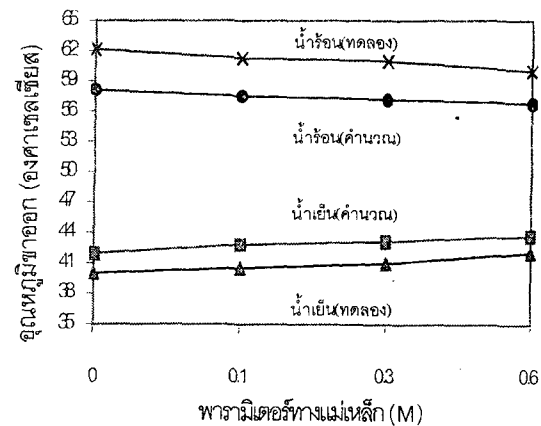
ประสิทธิภาพของอุณหภูมิ

$$\eta_{l,mag} = \frac{T_{c,out,mag} - T_{c,in}}{T_{h,in} - T_{c,in}}, \eta_{h,mag} = \frac{T_{h,in} - T_{h,out,mag}}{T_{h,in} - T_{c,in}} \quad (24)$$

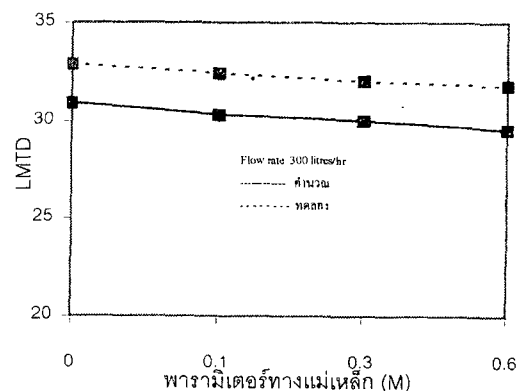
ประสิทธิภาพทางความร้อน

$$Eff = \frac{Q_{mag} - Q}{Q} \quad (25)$$

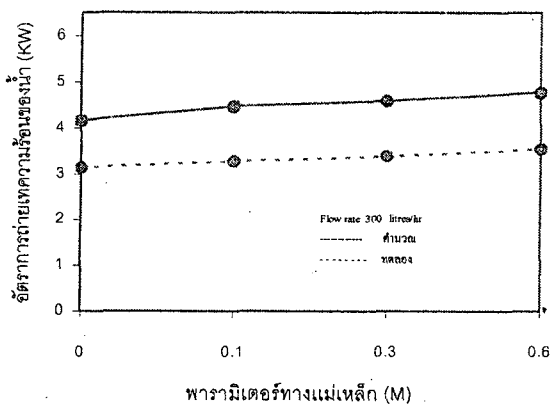
9. ผลการทดลองเปรียบเทียบกับผลการคำนวณ



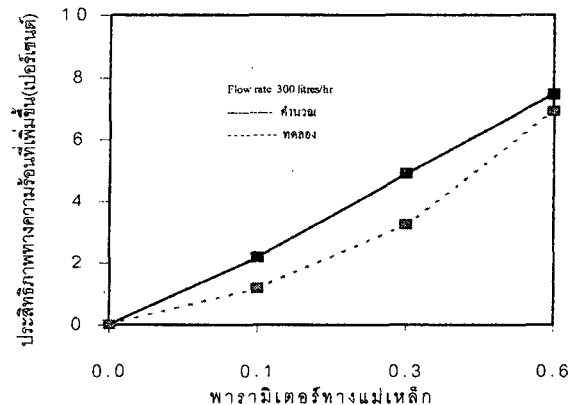
รูปที่ 11 การเปลี่ยนแปลงอุณหภูมิของน้ำข้าวอกกับพารามิเตอร์ทางแม่เหล็ก



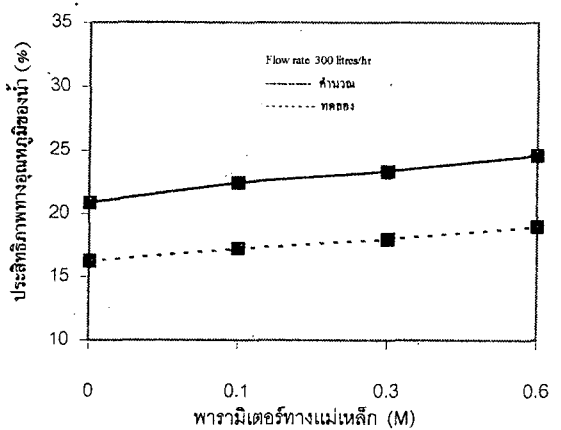
รูปที่ 12 การเปลี่ยนแปลงของค่า LMTD กับพารามิเตอร์ ทางแม่เหล็ก



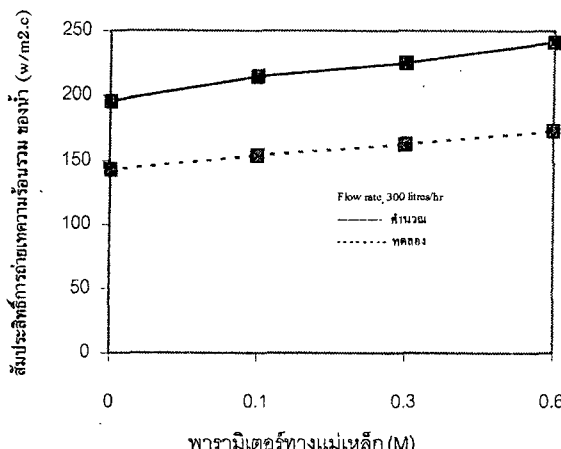
รูปที่ 13 ความสัมพันธ์ระหว่างอัตราการถ่ายเทขายความร้อนกับพารามิเตอร์ทางแม่เหล็ก



รูปที่ 16 ความสัมพันธ์ระหว่างประสิทธิภาพรวมของอุปกรณ์แลกเปลี่ยนความร้อนกับพารามิเตอร์ทางแม่เหล็ก



รูปที่ 14 ความสัมพันธ์ระหว่างประสิทธิภาพของอุณหภูมิกับพารามิเตอร์ทางแม่เหล็ก



รูปที่ 15 ความสัมพันธ์ระหว่างสัมประสิทธิ์การถ่ายเทขายความร้อนกับพารามิเตอร์ทางแม่เหล็ก

10. สรุปผล

การศึกษาการใช้สنانามแม่เหล็กในการเพิ่มสมรรถนะของอุปกรณ์แลกเปลี่ยนความอุ่นแบบเปลือกและห่อ โดยสنانามแม่เหล็กมีทิศทางตั้งจากกับการเคลื่อนที่ของน้ำพับว่า สนานามแม่เหล็กมีผลต่อการห่วง การเคลื่อนที่และเพิ่มการกระจายตัวของน้ำ ทำให้มีการแลกเปลี่ยนความร้อนกันได้ดีขึ้น โดยที่ความหนาแน่นของฟลักซ์แม่เหล็กมีค่าเพิ่มขึ้นจาก 0-0.23 เทสลา พบว่าอุณหภูมิของน้ำเย็นขาออกที่มีค่าสูงขึ้น อุณหภูมิของน้ำร้อนขาออกที่มีค่าลดลง ประมาณ 2 องศาเซลเซียส อัตราการถ่ายเทขายความร้อนมีค่าสูงขึ้น สัมประสิทธิ์การถ่ายเทขายความร้อนรวมมีค่าเพิ่มขึ้น ประสิทธิภาพของอุณหภูมิมีค่าเพิ่มขึ้นประมาณ 5 เปอร์เซ็นต์ และประสิทธิภาพทางความร้อนที่เพิ่มขึ้นสูงสุดประมาณ 7 เปอร์เซ็นต์ เมื่อเทียบกับกรณีที่ไม่มีสنانามแม่เหล็ก ซึ่งผลการคำนวณและผลการทดลองสอดคล้องกันเป็นอย่างดี พารามิเตอร์ที่มีผลต่อการเพิ่มปริมาณการถ่ายเทขายความร้อนคือ คุณสมบัติของสنانามแม่เหล็ก และคุณสมบัติการนำไฟฟ้าของช่องไฟล เมื่อสنانามแม่เหล็กที่มีความหนาแน่นของฟลักซ์แม่เหล็กและความเข้มของสนานามแม่เหล็กมาก จะสามารถสร้างแรงและพลังงานให้เกิดขึ้นกับช่องไฟลได้มากขึ้น และเมื่อช่องไฟลที่มีคุณสมบัติการนำไฟฟ้าที่สูงก็สามารถรับอิทธิพลจากสนานามแม่เหล็กได้มากขึ้นเช่นกัน

สัญลักษณ์

- A = พื้นที่ผิวการถ่ายเทขายความร้อน (m²)
- B = ความหนาแน่นของฟลักซ์แม่เหล็ก (Tesla)
- c = ค่าความจุความร้อนจำเพาะ (KJ/kg.C)
- F = แรงที่เกิดจากกระแสการเหนี่ยวนำ (N)
- h = สัมประสิทธิ์การพาความร้อน (J/m².C.s)
- hA = ค่าด้านความร้อนแบบการพา (J/C.S)
- J = กระแสการเหนี่ยวนำ (N.m.A)
- k = สัมประสิทธิ์การนำความร้อน (w/ m.c)
- M = ค่าพารามิเตอร์ทางแม่เหล็ก
- T = อุณหภูมิของช่องไฟล (C)
- u = ความเร็วในแนวแกน x (m/s)
- v = ความเร็วในแนวแกน y (m/s)

V	= ปริมาตร (m^3)
x	= ระยะทางในแนวแกน x (m)
y	= ระยะทางในแนวแกน y (m)
σ	= ค่าการนำไฟฟ้า ($Semen/m$)
ρ	= น้ำหนักจำเพาะ (kg/m^3)

សัญลักษณ์ការกับล่าง

m	= แม่เหล็ก
s	= เปลสิกท่อ
t	= ท่อ
w	= ผนังท่อ

เอกสารอ้างอิง

- 1) Ali J Chamkha :"Hydromagnetic flow and heat transfer of a heat generate fluid over a surface." International Communication Heat and Mass Transfer ,V24,1996,p815-825
- 2) J.P Holman ,P.R.S White :"Heat Tranwsfer" McGraw-hill bookCo,Ltd,1992
- 3) M.Abd El -Hakien,A.A Mohammadien:" Joule heating effect on magnetohydrodynamic free convection flow ,International Communication Heat and Mass Transfer ,V26,1999,p219-227
- 4) N.H Afan,EU Schlunder :Heat Exchanger design and theory source book,1974 Scripta book company
- 5) Ozisik ,M.N :"Basic heat transfer."Mcgraw-hill,Kogakusha,Ltd,1977
- 6) Ralph ,Webb : " Principle of enhanced heat transfer"John Wiley& Sons Inc,1994
- 7) Toshio . Aihara,Too Kyun kim:"Controllability of convective heat transfer in circular tube,"Jourinal of magnetism and magnetic material,V122,1993,p297-300
- 8) W.Roetzel,P.J Huggers," Design and Operation of heat exchanger Proceeding of Euroterm Seminar No 18,Springer velag Berlin Heidelberg,1992